

HUA GONG JI XIE JI CHU

〔下册〕

化工机械基础

叶春晖 金耀门 主编
上海交通大学出版社



化 工 机 械 基 础

(下册)

叶春晖 金耀门 主编

上海交通大学出版社

内 容 提 要

本书为化工工艺等专业学生加强机械知识而编写,篇幅较为紧凑。

全书共五篇,27章,分上、下两册。上册三篇:工程材料、静力学、材料力学,计19章;下册两篇:机械传动、化工容器,计8章。

本书可供大学本科化工工艺类专业或其他非机类专业选用,也可供有关工程技术人员参考。

化 工 机 械 基 础 (下册)

叶春晖 金耀门 主编

上海交通大学出版社出版

(淮海中路1984弄19号)

新华书店上海发行所发行

常熟文化印刷厂印刷

开本850×1168毫米 1/32 印张10.375 字数278000

1989年3月第1版 1989年4月第1次印刷

印数:1—10100

ISBN 7-313-00274-2/TQ·0 科目: 179—282

定价: 2.35 元

下册 目录

第四篇 机械传动

20 带传动.....	4
20.1 概述.....	4
20.2 带传动工作情况的分析.....	6
20.2.1 带的受力分析.....	6
20.2.2 带的弹性滑动和打滑.....	7
20.2.3 带的应力分析.....	10
20.3 三角带传动的设计.....	11
20.3.1 设计准则及单根三角带的许用功率值.....	11
20.3.2 原始数据及设计内容.....	15
20.3.3 设计步骤和方法.....	15
20.4 三角带带轮设计.....	21
20.5 三角带传动的使用和维护.....	27
21 齿轮传动和减速器.....	30
21.1 圆柱齿轮传动.....	30
21.1.1 齿廓啮合的基本定律.....	31
21.1.2 渐开线的形成及其特性.....	32
21.1.3 渐开线齿廓能保证定传动比传动.....	33
21.1.4 渐开线齿廓啮合的几个性质.....	34
21.1.5 直齿圆柱齿轮各部分的名称及标准直齿轮的基本尺寸的确定.....	36
21.1.6 渐开线齿轮的正确啮合条件和连续传动条件.....	38
21.1.7 轮齿的失效形式.....	41
21.1.8 齿轮材料.....	44

21.1.9 直齿圆柱齿轮的强度计算	46
21.1.10 变位齿轮的概念	59
21.1.11 标准斜齿圆柱齿轮传动介绍	60
21.2 蜗杆传动	64
21.2.1 概述	64
21.2.2 普通圆柱蜗杆传动	64
21.3 轮系和减速器	69
21.3.1 定轴轮系传动比的计算	70
21.3.2 周转轮系的组成及其传动比的计算	72
21.3.3 普通减速器的主要类型和选择	76
21.3.4 行星减速器简介	79
22 凸轮机构	83
22.1 概述	83
22.1.1 凸轮机构的组成	83
22.1.2 凸轮机构的类型	85
22.2 从动件的常用运动规律	87
22.2.1 等速运动规律	89
22.2.2 等加速等减速运动规律	90
22.2.3 简谐运动规律	90
22.3 图解法设计凸轮廓廓	91
22.3.1 制作原理——反转法	91
22.3.2 用反转法制作凸轮廓廓的具体步骤	92
23 轴、轴承和联轴器	95
23.1 轴	95
23.1.1 概述	95
23.1.2 轴的结构	96
23.1.3 轴的直径计算	99
23.2 轴承	105
23.2.1 滑动轴承的结构、润滑和校核计算	105

23.2.2 滚动轴承的结构、类型、代号和选择	120
23.3 联轴器	137
23.3.1 固定式刚性联轴器	138
23.3.2 可移式刚性联轴器	141
23.3.3 弹性联轴器	142
23.3.4 联轴器的选择	144
第五篇 化工容器	
24 导论	146
24.1 容器的结构和分类	146
24.2 容器选材的特点和金属的防腐蚀措施	149
24.2.1 容器选材的考虑因素	149
24.2.2 金属的防腐蚀措施	162
24.3 容器机械设计的基本要求和容器零部件的标准化	167
24.3.1 容器机械设计的基本要求	167
24.3.2 容器零部件的标准化	168
25 内压薄壁容器设计	171
25.1 回转壳体的薄膜应力理论	171
25.1.1 回转薄壳的几何概念	171
25.1.2 回转壳体的薄膜应力分析	173
25.1.3 薄膜应力理论的适用条件和边缘问题的概念	185
25.2 内压圆筒和球壳的设计	189
25.2.1 内压圆筒和球壳的强度设计	189
25.2.2 设计参数和最小壁厚的确定	192
25.2.3 容器的压力试验及密封性检查	198
25.3 内压封头的设计	205
25.3.1 半球形封头	205
25.3.2 椭圆形封头	206
25.3.3 碟形封头	208

25.3.4	无折边球形封头	210
25.3.5	锥形封头	212
25.3.6	平板封头	217
25.3.7	封头结构设计的若干要求	219
26	外压薄壁容器设计	227
26.1	外压容器稳定性的概念	227
26.2	外压圆筒的稳定性计算	229
26.2.1	解析法	229
26.2.2	图算法	234
26.2.3	关于轴向许用压缩应力	242
26.3	加强圈设计	243
26.3.1	加强圈的作用及结构	243
26.3.2	加强圈的计算	246
26.4	外压封头设计	249
26.4.1	外压凸形封头稳定设计的图算法	249
26.4.2	外压锥形封头设计计算	250
27	压力容器附件的结构和选用	257
27.1	法兰	257
27.1.1	法兰的结构与种类	258
27.1.2	法兰的密封面型式及选用	260
27.1.3	法兰的垫片选用	263
27.1.4	法兰标准	264
27.2	容器的开孔及其附件	278
27.2.1	接管和凸缘	278
27.2.2	人孔和手孔	280
27.2.3	视镜与液面计	286
27.2.4	容器开孔补强	289
27.3	容器的支座	300
27.3.1	立式容器支座	301

27.3.2 卧式容器支座	309
习题和习题答案	314
习题	314
习题答案	322
参考文献	324

第四篇 机 械 传 动

在化工生产中除了大量使用静止设备外，还广泛使用各种各样的机器。机器与静止设备不同，它是由一些具有确定相对运动的构件组成。一台完整的机器通常应包括动力机、工作机和传动装置三部分。

动力机的作用是把各种形态的能转变为机械能，其运动的输出形式通常为转动。动力机分为一次动力机和二次动力机。一次动力机是把自然界的能源转变为机械能的机器，如柴油机、汽轮机、水轮机等。二次动力机是先用动力机驱动变能机（如发电机等）产生各种形态的能，然后再把各种形态的能转变为机械能的机器。如电传动中的电动机，流体传动中的液压马达和气动马达等。由于电动机的结构简单，效率高，运转时振动小，使用和维护简便，所以它在生产上得到了广泛的应用。

工作机是利用机械能来改变材料或工件的性质、状态、形状和位置，以进行生产或达到其他预定目的的机器。其特点是机构的运动比较复杂多样，运转速度受生产性质的限制，一般低于动力机，并常需按不同的工况相应变化。例如输送液体用的工作机，当要求排出的液体流量较大而压力较低时可选用结构简单的离心泵，它的主要构件是一个高速旋转的叶轮。当要求高压头，小流量时，则应选用往复式泵，它的主要构件是以较低速度作往复移动的活塞。

传动装置是指把动力机产生的机械能传送到工作机上去的中间装置。以传递动力为主的传动又称为动力传动。以传递运动为主的（例如控制传动）称为运动传动。

图 20-0 为一搅拌器的传动示意图。在电动机与搅拌轴之间

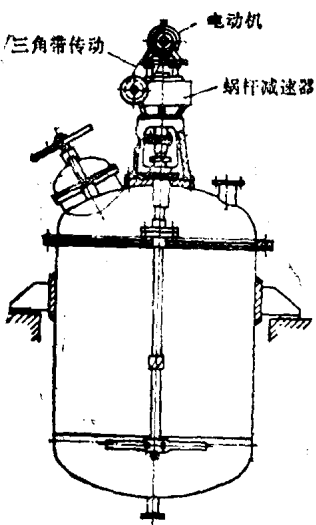


图 20-0

安装了三角带传动、蜗杆减速器等装置，使搅拌轴达到所需的转速。

按工作原理可将传动分为机械传动，流体传动，电力传动和磁力传动。其中以机械传动最为常见。机械传动可分为摩擦传动，啮合传动和推动。摩擦传动是依赖构件间的摩擦力来传递运动和动力的，如带传动、摩擦轮传动，它的特点是传动平稳，噪音小，结构简单，还能起过载保护作用等。啮合传动是依靠构件间的相互啮合来传递运动和动力的，如齿轮传动、蜗杆传动和链传动等。

传动、蜗杆传动和链传动等，其优点是传动比恒定，传递功率大，结构紧凑和有较高效率等。

在旋转的机械传动中，传动比是指机构中主动件的转速 (n_1) 与从动件的转速 (n_2) 的比值，并以 i 表示，

$$i_{12} = \frac{n_1}{n_2}.$$

不同类型的传动机构都有较为合适的传动比值，见表 20-0。

表 20-0 各类型传动机构的传动比值

	平胶带	三角胶带	齿轮	蜗 杆	链
常用的传动比 i	<3	<7	<8	<80	<8
最大传动比 i_{max}	5	15	20	80	10

当所要求的某种传动机构的传动比大于表中所列数值时，可采用多级传动机构，也可以采用不同机构的组合，它的总传动比是

各级传动比的连乘积。

本篇仅介绍工厂中常用的带传动、齿轮传动、蜗杆传动、减速器和凸轮机构，以及支承和联接用的轴、轴承和联轴器等零部件。

20 带传动

20.1 概述

在机械传动中，带传动是常见形式之一。它利用张紧在两带轮上的柔性带与轮面间的摩擦力，将主动轮1的运动和扭矩传给从动轮2，见图20-2。因为带传动是借助中间的带并依靠摩擦力工作的，所以它具有下列主要特点：

(1) 优点：1) 适用于传动中心距较大的地方，而且带具有弹性可以缓和冲击和吸收振动；2) 运转平稳，噪音小，当过载时，带能在带轮上打滑，可以保护机器上其他零件，使它们免遭损坏；

(2) 缺点：1) 传动的外廓尺寸较大；2) 带传动在正常工作时也有滑动现象，因此不能保证准确的传动比。传动效率较低，平型带传动的平均效率为96%，三角带传动的平均效率为95%。一般带寿命比齿轮等为短。

根据带的剖面形状(见图20-1)，可分为以下几种类型。

a 平型带

剖面为扁平矩形，通常系由数层胶帆布构成，分叠层式和包层式两种。平型带传动结构简单，带长按需要剪裁后接成环形，常用于中心距较大的传动。薄型强力锦纶平型带还可用于高速传动。

b 三角带

剖面为梯形的环形胶带，通常由包布层、伸张层、强力层和压缩层四部分组成。包布层一般由胶帆布带制成，强力层由胶帘布或胶线绳制成，伸张层和压缩层由橡胶制成。市场上还有一种活络三角胶带，系由多层挂胶帆布粘合，经硫化后冲切成小片，逐节搭叠后用螺栓联接成环状。其长度可以任意选取，适用于中心距

不能调整的传动。但是这种带在速度较高时易发生传动失稳，而且使用寿命也较短。三角带仅适用于开口传动，不宜用于半交叉和交叉传动。

由于平型带在平滑的带轮上工作，其内面是工作面，三角带在有沟槽的带轮上工作，其两侧面是工作面，因而三角带与平型带相比，在同样张紧力下，可以产生较大的摩擦力。

三角带按截面尺寸的不同，分为 *O*、*A*、*B*、*C*、*D*、*E*、*F* 七种型号，各型号的剖面尺寸见表 20-4。标准三角带都制成无接头的环形，其长度系列见表 20-5。

c 同步齿形带

亦为环形胶带。带的工作面制成齿形，与齿形带轮作啮合传动。同步齿形带是以钢丝绳或合成纤维为强力层。它能保持齿形带的周节不变，保证传动比准确，实现同步传动，传动效率高。其主要缺点是制造和安装精度要求较高。目前主要用于要求传动比准确的中、小功率传动。

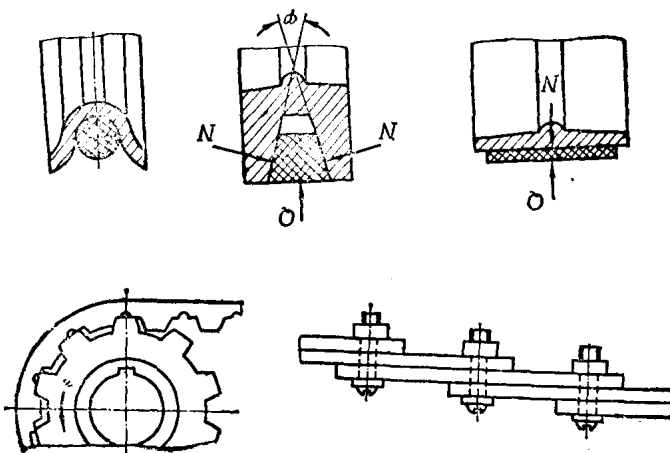


图 20-1

20.2 带传动工作情况的分析

20.2.1 带的受力分析

由于带是张紧在两带轮上，带中存在着初拉力 F_0 ，这样带和带轮接触面上就产生了正压力。带传动不工作时，带上下两边的拉力相等，都等于 F_0 ，见图 20-2(a)。

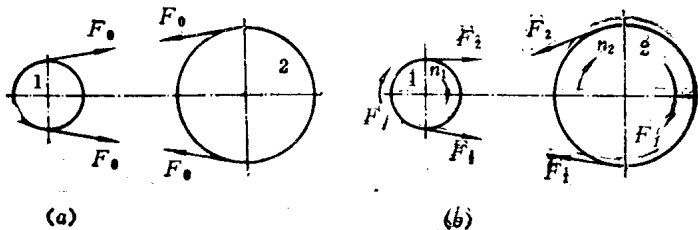


图 20-2

当主动轮 1 以 n_1 转速转动时，由于带和带轮接触面上的摩擦力的作用，使从动轮 2 以 n_2 转速转动，见图 20-2(b)。这时带两边的拉力相应地发生变化：进入主动轮一边的带被拉紧，叫做紧边，拉力由原来的 F_0 增至 F_1 ；而进入从动轮一边的带被放松，叫做松边，拉力由原来的 F_0 减为 F_2 。如果取主动轮上的这部分带为分离体，由受力图可知，带轮作用在带上的总摩擦力为

$$F_t = F_1 - F_2,$$

又因为带传动的有效圆周力 F_e 等于总摩擦力 F_t ，所以

$$F_e = F_1 - F_2, \quad (20-1)$$

带传动所能传递的功率

$$P = \frac{F_e v}{1000} \text{ (kW)}, \quad (20-2)$$

式中 F_e ——有效圆周力，N；

v ——带速，m/s。

如果近似地认为带工作时的总长度不变，则带紧边拉力的增加量，应等于松边拉力的减少量。即

$$F_1 - F_0 = F_0 - F_2,$$

或

$$F_1 + F_2 = 2F_0. \quad (20-3)$$

将式(20-1)代入式(20-3)可得

$$\left. \begin{array}{l} F_1 = F_0 + \frac{F_e}{2}, \\ F_2 = F_0 - \frac{F_e}{2}. \end{array} \right\} \quad (20-4)$$

由式(20-4)可知，带两边的拉力 F_1 和 F_2 的大小，取决于初拉力 F_0 和带所传递的有效圆周力 F_e 。而 F_e 的大小与带传递的功率 P 以及带的速度 v 有关。当工作机要求传递的功率增大时，带两边拉力的差值 $F_1 - F_2 \approx F_e$ 也要求相应地增大。带两边拉力的这种变化，实际上反映了带和带轮接触面上摩擦力的变化。实践证明，当其他条件不变，且初拉力 F_0 一定时，这个摩擦力有一极限值。这个极限值就限制着带传动的传动能力。

20.2.2 带的弹性滑动和打滑

带为弹性体，受力后要发生变形，工作时两边拉力不同，两边变形也必然不同。当紧边绕过主动轮变为松边时，因拉力减小，带有缩短趋势，反之当松边绕过从动轮变为紧边时，则拉力增大，有伸长的趋势。这种变形，是在带绕过带轮时逐渐发生的，这就造成带在带轮上产生局部微小的滑动。由于这种滑动是由带弹性变形而引起的，故称为带的弹性滑动。这是带传动正常工作时固有的特性。

由于弹性滑动的结果，轮 1 和轮 2 的圆周速度 v_1 和 v_2 发生差异，从动轮的圆周速度 v_2 低于主动轮的圆周速度 v_1 ，其降低量可用滑动率 ε 来表示：

$$\varepsilon = \frac{v_1 - v_2}{v_1} \times 100\%, \quad (20-5)$$

或

$$v_2 = (1 - \varepsilon) v_{10}$$

而

$$\left. \begin{aligned} v_1 &= \frac{\pi D_1 n_1}{60 \times 1000} (\text{m/s}), \\ v_2 &= \frac{\pi D_2 n_2}{60 \times 1000} (\text{m/s}) \end{aligned} \right\} \quad (20-6)$$

式中: n_1, n_2 ——主动轮和从动轮的转速, r/min ;

D_1, D_2 ——主动轮和从动轮的计算直径, mm 。

将式(20-6)代入式(20-5)可得

$$D_2 n_2 = (1 - \varepsilon) D_1 n_1.$$

因而带传动的实际平均传动比为

$$i = \frac{n_1}{n_2} = \frac{D_2}{D_1 (1 - \varepsilon)}. \quad (20-7)$$

在一般传动中, 因滑动率并不大 ($\varepsilon \approx 1 - 2\%$), 故可不予考虑, 而取传动比为

$$i = \frac{n_1}{n_2} \approx \frac{D_2}{D_1}. \quad (20-8)$$

根据实验研究结果, ε 值与有效圆周力 F_e 有关。当 F_e 较小时, 弹性滑动只发生在带由主、从动轮上离开以前的那一部分接触弧上。随着 F_e 的增大, 弹性滑动区域也将扩大。当弹性滑动区域扩大到整个接触弧时, F_e 即达到最大(临界)值 F_{ek} 。如果工作载荷再进一步增大, 则带与带轮间就将发生显著的相对滑动, 这种情况称为带的“打滑”。打滑将使带磨损加剧, 并使从动轮转速急剧降低, 甚至使传动失效, 因此必须设法避免打滑。

当带有打滑趋势时, 摩擦力即达到极限值, 带传动的有效圆周力亦达到最大值。下面来分析最大有效圆周力 F_{ek} 的计算方法和影响因素。

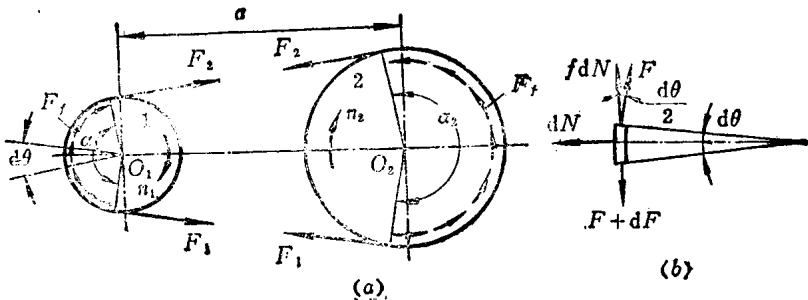


图 20-3

如果略去离心力的影响，截取微段带为分离体如图 20-3 (b) 所示。建立静力平衡方程，可以得到 F_1 和 F_2 的关系式

$$F_1 = F_2 e^{f\alpha} \quad (20-9)$$

式中 e ——自然对数的底 ($e = 2.718\cdots$)；

f ——摩擦系数(对于三角带，可用当量系数 f_v 代替 f)；

α ——带在带轮上的包角，rad。

式 (20-9) 即所谓柔韧体摩擦的欧拉公式。将式 (20-4) 代入式 (20-9) 整理后，可得出带所能传递的最大有效圆周力 F_{ec} 为

$$F_{ec} = 2F_0 \frac{e^{f\alpha} - 1}{e^{f\alpha} + 1} = 2F_0 \frac{1 - 1/e^{f\alpha}}{1 + 1/e^{f\alpha}} \quad (20-10)$$

由上式可知， F_{ec} 与下列几个因素有关：

a 初拉力 F_0

F_{ec} 与 F_0 成正比。但 F_0 过大时，将使带发热和磨损加剧，以致过快地发生松弛，缩短带的寿命。如 F_0 过小，则带传动的工作能力得不到充分发挥，运转时容易跳动和打滑。

b 包角 α

F_{ec} 随 α 增大而增大。

c 摩擦系数 f

F_{ec} 随 f 增大而增大。而 f 与带及带轮的材料和表面状况、工